

پتروگرافی و پترولوزی متاپلیت‌های بخش میانی زون سندج- سیرجان (شمال گلپایگان)

سمیه کریمی،^{*} سیدمحسن طباطبایی‌منش: گروه زمین‌شناسی دانشگاه اصفهان

چکیده

متاپلیت‌های شمال گلپایگان بر مبنای مجموعه‌های کانیابی در چهار دسته گارنت کلریتوئید شیست، گارنت شیست، گارنت استروتید شیست و استروتید کانیت شیست قرار می‌گیرند. وجود کلریتوئید در گارنت کلریتوئید شیست‌ها بیان‌گر رخساره شیست سبز است. گارنت‌های موجود در گارنت شیست‌ها ۳ مرحله رشد را نشان می‌دهند. ظهور استروتید در گارنت استروتید شیست‌ها نشانه شروع رخساره آمفیولیت است. تغییرات سنگ‌شناسی از گارنت کلریتوئید شیست‌ها به‌سمت استروتید کانیت شیست‌ها بیان‌گر تشکیل این سنگ‌ها طی دگرگونی پیش‌رونده است. بررسی ترمودینامیکی این سنگ‌ها نشان‌گر آن است که متاپلیت‌های شمال گلپایگان در محدوده دمایی ۴۸۰ تا ۵۶۰ درجه سانتی‌گراد و در محدوده فشاری ۱/۶ تا ۴/۱ کیلوبار تشکیل شده‌اند. این نتایج با شواهد پاراژنیکی کانی‌ها کاملاً هماهنگ است و حاکی از دگرگون شدن رسوبات پلیتی شمال گلپایگان تا رخساره آمفیولیت پایینی (اپیدوت امفیولیت) است.

مقدمه

ناحیه گلپایگان در شمال غرب استان اصفهان آزمایشگاهی طبیعی برای بررسی سرزمین‌های دگرگون شده است. این منطقه از نظر ساختاری جزئی از پهنه سندج- سیرجان (شکل‌های ۱ و ۲) و از نظر پترولوزی و پتروفابریک بسیار جالب و در عین حال پیچیده است. این پیچیدگی‌ها سبب شده است تا زمین‌شناسان مختلف بیش از پیش برای حل ابهام‌های زمین‌شناختی این منطقه تلاش کنند.

متاپلیت‌ها از مهمترین خانواده سنگ‌های دگرگونی در ناحیه گلپایگان هستند که کانی‌های شاخص موجود در آن‌ها توزیع منظمی را نشان می‌دهند. این توزیع می‌تواند باشد دگرگونی و حوادث مختلف زمین‌شناسی مرتبط باشد. در این مقاله به بررسی پتروگرافی، پترولوزی و شرایط ترمودینامیکی تشکیل متاپلیت‌ها در این ناحیه پرداخته شده است تا با کمک آن بتوان شناخت بهتری در شرایط ژئودینامیکی تشکیل این بخش از زون سندج- سیرجان ایجاد کرد.

واژه‌های کلیدی: متاپلیت، شیست، آمفیولیت، گلپایگان، زون سندج- سیرجان

دریافت: ۸۹/۵/۲۶ پذیرش: ۹۰/۶/۱۶

*نویسنده مسئول: karimisomaie@gmail.com

نویسنده مسئول:

زمین‌شناسی

از دیدگاه تکتونیک پهنه سنندج-سیرجان از فعال‌ترین پهنه‌های شناخته شده و دارای پیچیدگی است. این پهنه به لحاظ داشتن حجم‌های در خورنوجهی از سنگ‌های ماگمایی و پیشرفت و توسعه فرایندهای دگرگونی، پویا‌ترین‌پهنه زمین‌ساختی ایران محسوب می‌گردد. مهم‌ترین حادثه دگرشکلی و دگرگونی آن در ارتباط با واقعه مهم تکتونیکی باز و بسته شدن اقیانوس تنیس جوان است که در طول دوران مژوزوئیک انجام گرفته است [۱]، [۲]. در حقیقت این پهنه تکتونیکی کومزاد زاگرس حاصل فرورانش و برخورد صفحه عربی و خرد قاره ایران مرکزی در زمان کرتاسه پایانی تا ترکیه‌ای است [۳]، [۴].

برخی محققان از جمله شریفی (۱۳۸۶) [۵]، احمدی ذکری، (۱۳۷۸) [۶] و صبا، (۱۳۷۸) [۷] در منطقه گلپایگان ۴ فاز دگرگونی (فسارشی- حرارتی، برشی- حرارتی و قهقرابی) گزارش کرده‌اند. دگرشکلی‌های گزارش شده در این منطقه عبارتند از:

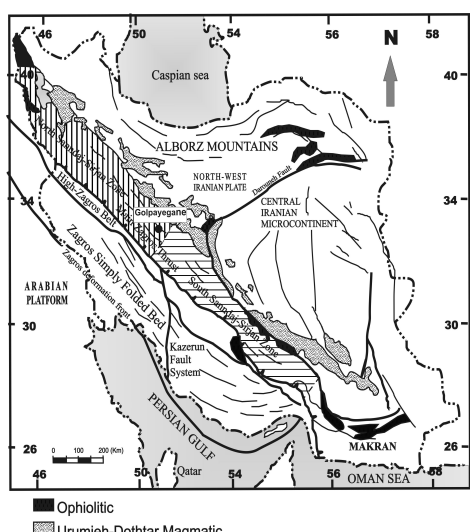
دگرشکلی D1، که حاصل آغاز فرورانش تنیس جوان به زیر صفحه ایران در ژوراسیک پایانی است و یک دگرگونی در حد رخساره شیست سبز تا آمفیبولیت و ساختارهایی با روند NE-SW ایجاد کرده است [۶].

دگرشکلی D2، که حاصل برخورد صفحه عربی با صفحه ایران در کرتاسه پسین است و ساختارهایی با روندی به موازات زاگرس ایجاد کرده و باعث میلونیتی شدن سنگ‌ها شده است [۶].

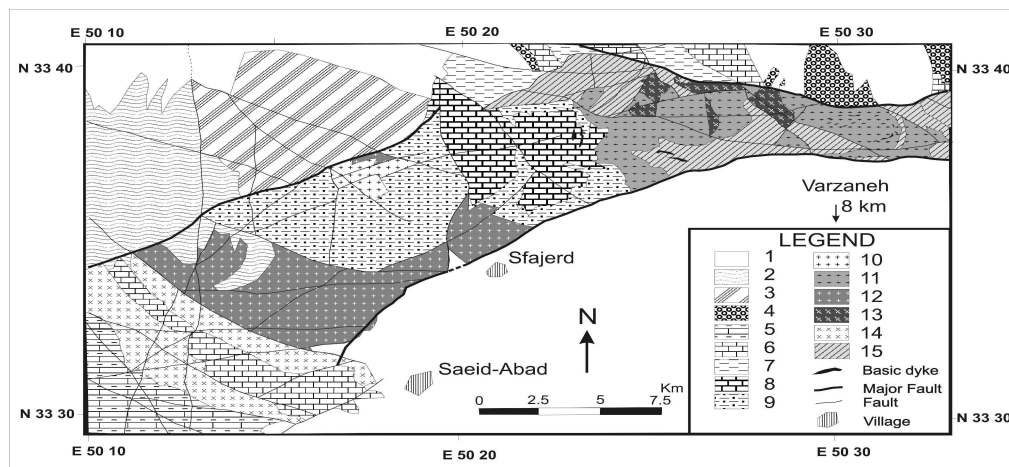
دگرشکلی D3، که حاصل تکتونیک جابه‌جایی- فشارشی راستگرد طی دگرشکلی سنوزوییک است [۶]. بر اساس پژوهش‌های سنسنجی رشیدنژاد و همکاران (۲۰۰۲)، شیست‌های منطقه شمال گلپایگان متعلق به ژوراسیک است [۸]. موریتس و همکاران (۲۰۰۶) متالیت‌های کوه حاجی‌قارا را متعلق به بخش فرقانی کرتاسه زیرین (آلین) می‌دانند [۹].

در واقع به نظر می‌رسد که در منطقه گلپایگان، رسوبات در زمان تریاس- ژوراسیک تشکیل و در زمان

ژوراسیک با فاز کیمرین پسین دگرگون شده‌اند.



شکل ۱. واحدهای تکتونیکی اصلی ایران همراه با موقعیت منطقه بررسی شده بر روی پهنه سنندج- سیرجان [۲]



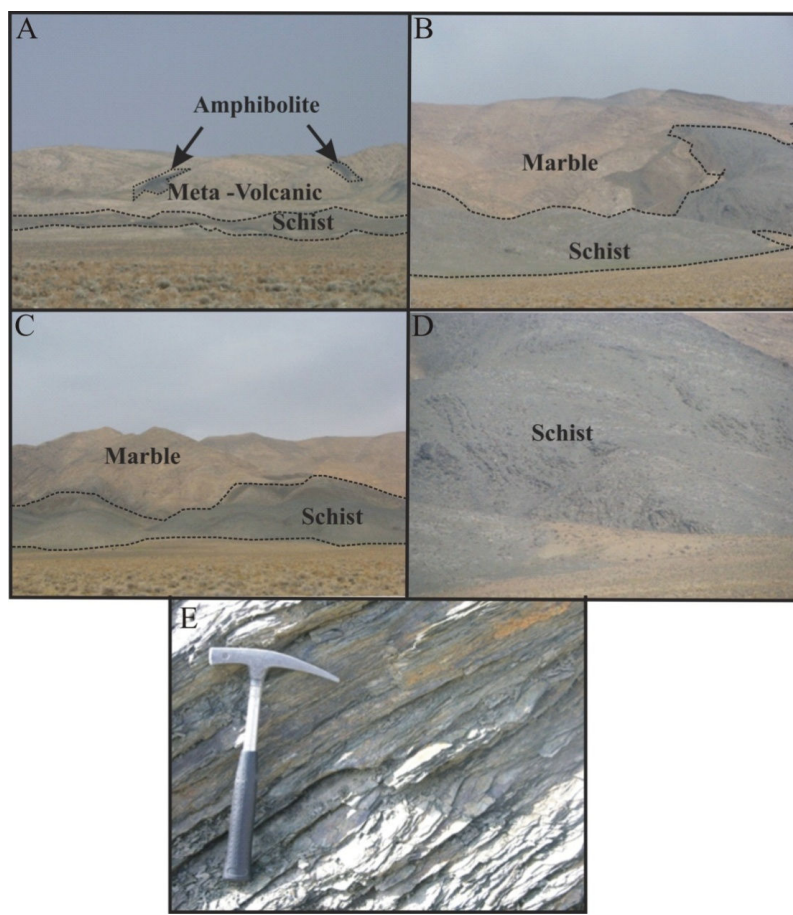
شکل ۲. نقشه زمین‌شناسی منطقه شمال شرق گلپایگان: ۱. آبرفت‌های جوان، ۲. پادگانه‌های آبرفتی، ۳. ماسه سنگ نواری (انوسن)، ۴. ماسه سنگ و کنگلومرا (انوسن)، ۵. شیل آهکی، مارن و آهک (کرتاسه فوچانی)، ۶. آهک اربیتولین‌دار (کرتاسه زیرین)، ۷. شیل (ژوراسیک)، ۸. مرمر (مزوزونیک)، ۹. گارنت موسکویت شیست (مزوزونیک)، ۱۰. موئزروگرانیت (پالنوسن)، ۱۱. میلونیت گرانیت (پالنوسن)، ۱۲. سینیت و سینودیوریت (پالنوسن-انوسن)، ۱۳. سنگ‌های بازیک میلونیتی، ۱۴. تراکیت (کرتاسه پالنوسن)، ۱۵. متاداسیت، متاتزیت و متاریولیت (مزوزونیک) [۱۰]

روش تحقیق

طی بازدیدهای صحرایی ۱۰۰ نمونه سنگ به صورت سیستماتیک برداشت شد. بعد از انجام مطالعات میکروسکوپی، چند نمونه که نام تعدادی از آن‌ها در پیوست ۱ آورده شده، به روش XRF آنالیز شیمیایی شدند. سپس آنالیز نقطه‌ای کانی‌های بیوتیت، گارنت و استروتید در ۲ نمونه دیگر (St-Gol, SF-7) در آزمایشگاه EPMA دانشگاه دولتی مسکو، با دستگاه الکترون مایکروپرورب JEOL، مدل JXA-8800 (WDS) با شرایط ولتاژ شتاب دهنده 20kev و شدت جریان 12nA انجام شد. علائم اختصاری استفاده شده در متن: گارنت-*Grt*-، بیوتیت-*Bt*-، فلدسپار پتاسیم-*Kfs*-، موسکویت-*Ms*-، کلریت-*Chl*-، پلاژیوکلاز-*Pl*-، کوارتز-*Qtz*-، استروتید-

پتروگرافی و شیمی کانی‌ها

مجموعه سنگ‌های دگرگونی منطقه گلپایگان عبارتند از آمفیبولیت، شیست، مرمر و متاولکانیک (شکل ۳). سنگ‌های بررسی شده در شمال گلپایگان شامل گارنت کلریتوئید شیست، گارنت شیست، گارنت استروتید شیست و استروتید کیانیت شیست هستند. از خصوصیات کلی برای شیست‌های متابیلتی گلپایگان وجود بافت‌های پیپوبلاستی و پورفیروبلاستی است.



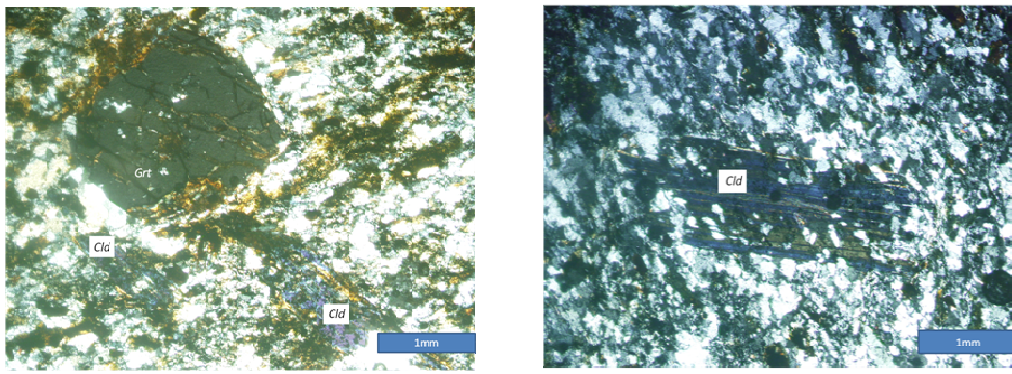
شکل ۳. نمایی از سنگ‌های دگرگونی شمال گلپایگان

A تا C: نمای کلی منطقه که از شیست، مرمر، آمفیبولیت و متاولکانیک تشکیل شده است ($E50^{\circ} 24^{\prime}$ ، $N33^{\circ} 35^{\prime}$)،

D و E: نمای نزدیک از برگوارگی شیست‌های بررسی شده ($E50^{\circ} 17^{\prime}$ ، $N33^{\circ} 36^{\prime}$)

گارنت کلریتوئید شیست: در این سنگ‌ها (نمونه Ch1) (پیوست ۱) پورفیروبلاست‌های گارنت با ابعادی حدود ۲ میلی‌متر و فراوانی ۲۵ درصد و پورفیروبلاست‌های کلریتوئید با ابعادی حدود ۳ تا ۵ میلی‌متر و فراوانی ۲۰ درصد، در زمینه‌ای مشکل از حدود ۲۰ درصد کوارتز دانه‌ریز با ابعاد $2/3$ تا $10/3$ میلی‌متر، پلازیوکلاز‌های دانه‌ریز با ماکل پلی‌سینتتیک با فراوانی حدود ۱۰ درصد و پورفیروبلاست‌های کوارتز با فراوانی حدود ۱۰ تا ۱۵ درصد کانی‌های اپاک مشاهده می‌گردد (شکل ۴). کوارتز‌ها کمی کشیدگی نشان می‌دهند. این سنگ‌ها بافت گرانولیپید پورفیروبلاستیک دارند. در برخی از کلریتوئید‌ها تجمع ادخال‌ها به فرم ساعت شنی است. ساختار ساعت شنی در کلریتوئید (Hour-Glass) بیان‌گر الگوهای هندسی منظم از ادخال‌های است که در ارتباط با ساختمان بلور میزبان آرایش یافته‌اند [۱۰]. معمولاً اولین نسل کلریتوئید در دمای حدود ۴۰۰ تا ۴۵۰ درجه سانتی‌گراد و فشار‌های بالاتر از ۳ کیلوبار متبلور می‌گردد [۱۱]. کلریتوئید‌های بررسی شده آهن‌دار است و ضمن این‌که تا حدودی کلریتی شده‌اند، واجد ادخال کوارتنزند. کلریتوئید که یکی از کانی‌های معمول در دگرگونی

متاپلیت هاست به سنگ های درجه پایینی محدود می شود که در آن ها مقدار آهن بیشتر از منیزیم است. این کانی معمولاً از شکسته شدن پیروفیلیت و کلریت به دست می آید [۱۲]. نوع آهن دار آن شاخص رخساره شیست سبز است. گارنت موجود در گارنت کلریتوئید شیست ها دارای ادخال های کوارتز و بیوتیت است و برخی از آن ها تا حدودی کلریتی شده و برخی کاملاً به کلریت پسدو مورف شده اند.



شکل ۴. گارنت کلریتوئید شیست (نمونه Chl). الف: پورفیروبلاست کلریتوئید با ادخال های فراوان کوارتز در زمینه ای از کوارتز و میکا، ب: پورفیروبلاست های گارنت و کلریتوئید در زمینه ای از کوارتز و میکا

گارنت شیست: این سنگ ها (از جمله نمونه SF-7) (پیوست ۱) بافت پورفیرو لپیدوبلاستیک نشان می دهند و حدود ۲۵-۲۰ درصد موسکویت، ۱۵-۲۰ درصد گارنت، ۱۰-۱۵ درصد بیوتیت، ۲۰-۳۰ درصد کوارتز، ۱۰-۵ درصد کانی اپاک و حدود ۵ درصد فلذی پار دارند. برخی از پورفیرو بلاست های گارنت با ابعاد ۳ تا ۷ میلی متر مرحله رشد را در گارنت نشان می دهند (شکل ۵ الف).

۱. گارنت با ادخال های بسیار کم کوارتز- بیوتیت و اپاک در مرکز

۲. گارنت با ادخال های فراوان کوارتز و تا حدودی بیوتیت و اپاک به صورت نواری در اطراف بخش

مرکزی

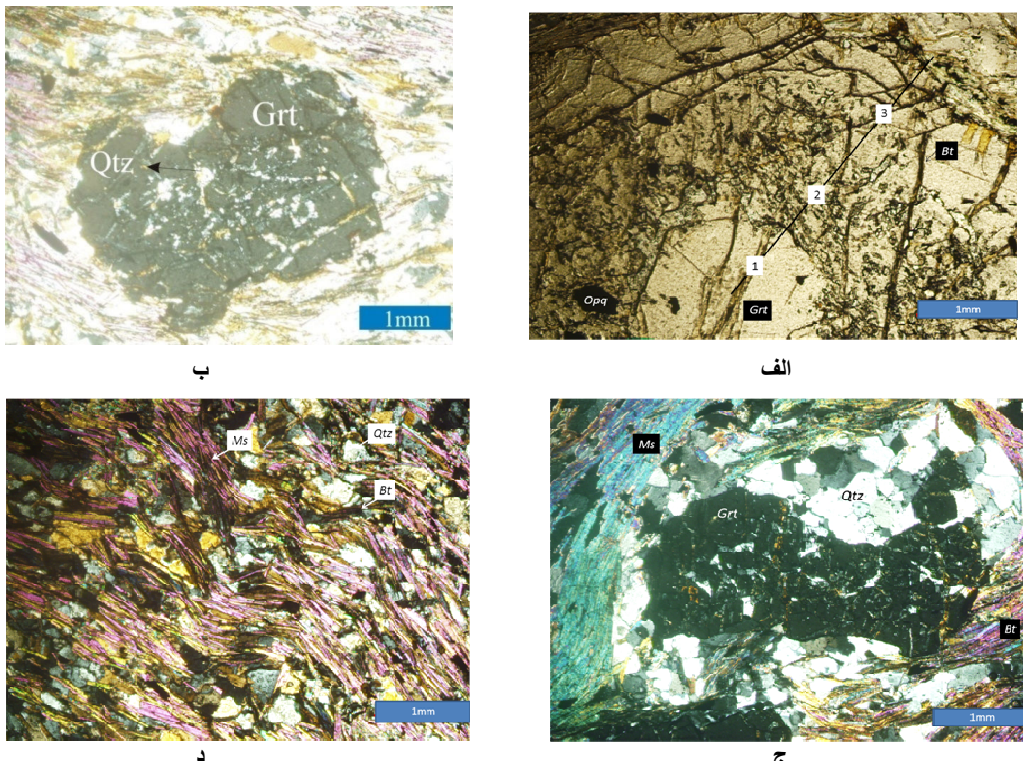
۳. گارنت با ادخال های کم کوارتز- بیوتیت و اپاک در حاشیه

برخی از گارنت های موجود در این سنگ ها رشد سریع و آتلی شکل نشان می دهند (شکل های ۵ ب و ج). توالی های بیوتیت و موسکویت با کوارتز در سنگ، شیستورزیته شدیدی نشان می دهند که این شیستوزیته پورفیرو بلاست های گارنت را دور زده و در قسمت هایی به صورت کرینولیشن در آمده اند (شکل ۶ د). این شواهد دال بر (Syn - tectonic) بودن سنگ و کانی های آن است. در این سنگ ها بیوتیت و موسکویت ابعادی حدود ۰/۰ میلی متر و کوارتز ابعادی حدود ۰/۳ میلی متر دارند.

گارنت های بررسی شده در این سنگ ها دارای ۱ تا ۱۴ درصد پیروفیت، ۲ تا ۳ درصد گروسولار، ۵ تا ۲۳ درصد اسپسارتین و ۶۶ تا ۸۱ درصد آلماندین هستند. X_{Mg} در گارنت های با ترکیب منطقه ای از ۰/۱ تا ۰/۱۴

در نوسان است و مقدار آن در گارنت هایی که مرحله سوم رشد را نشان می دهد، کمتر از دو مرحله قبل است. گارنت های موجود در متابلیت ها همیشه دارای مقابیری از گروسولار هستند که در دگرگونی پیش رو نده دمای ظهرور آنها را پایین می آورد.

در تعدادی از نمونه های گارنت شیست، شکل گیری موسکویت و بیوتیت در کنار یکدیگر دال بر تشکیل آنها در طی واکنش (۱) $Chl+Kfs=Bt+Ms+Qtz+H_2O$ [۱۳] است. در ادامه دگرگونی و با مصرف $Ms+Chl+Qtz=Grt+Bt+H_2O$ (۲) فلدسپار پتاسیم موسکویت در مقابل کلریت ناپایدار شده و طبق واکنش (۱۴) گارنت و بیوتیت تشکیل می شود.

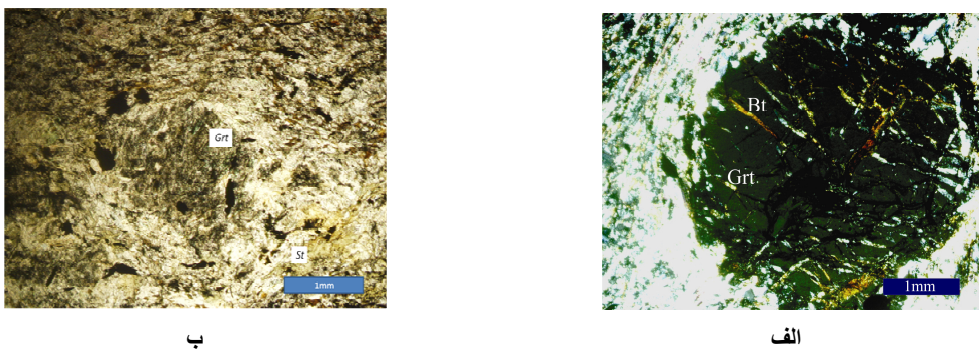


شکل ۵. گارنت شیست (نمونه ۷-SF). (الف) ۳ مرحله رشد گارنت، (ب) نحوه پراکندگی ادخال های کوارتز در گارنت، (ج) رشد آتوالی شکل گارنت، (د) کریوپلیشن ظرفی در سنگ

گارنت استروتید شیست: این سنگ ها (نمونه G9) (پیوست ۱) نسبت به سایر سنگ ها دانه ریزتر است و دارای حدود ۳۵-۳۰ درصد گارنت، ۲۵-۳۰ درصد میکاء، ۱۵-۱۰ درصد کوارتز، ۱۰-۵ درصد کانی اپاک و ۷-۵ درصد استروتید هستند و بافت پورفیرو لپیدوبلاستیک نشان می دهد. پورفیرو بلاست های گارنت با ابعاد ۳ تا ۴ میلی متر دارای شکستگی فراوان است (شکل ۶ الف) و از نظر فابریکی ۲ مرحله را نشان می دهد (ادخالات کم در مرکز و ادخالات زیاد در حاشیه). وجود بیوتیت در شکستگی های گارنت نقش سیالات پتاسیم دار را در تشکیل آنها نشان می دهد. در برخی قسمت های گارنت کاملاً به کلریت، اپیدوت و اپاک تجزیه شده است (شکل ۶ ب).

در بعضی از گارنت استروتید شیست‌ها، ورقه‌های بیوتیت در بین ورقه‌های موسکویت دیده می‌شود. برخی بیوتیت‌ها کاملاً کلریتی شده و از بین رفته است و تنها آثاری از آن‌ها باقی مانده است و برخی از آن‌ها کاملاً سالم هستند. این مسئله بیان‌گر این است که احتمالاً بیوتیت‌های موجود در سنگ در ۲ مرحله تشکیل شده‌اند. فراوانی اکسید آهن و کلریت در این سنگ‌ها نمایان‌گر تأثیر فاز دگرگونی برگشتی بر روی آن‌هاست.

ظهور استروتید‌های ریزدانه‌ای با ابعاد کمتر از ۱ میلی‌متر نشانه قرارگیری سنگ‌ها در مرز رخساره شیست سبز به آمفیبولیت است. رخداد واکنش $Cld+Qtz=St+Grt+H_2O$ [۱۴] باعث تخریب کلریت‌تید و تشکیل استروتید می‌شود. همراهی استروتید با بقایای کوچک کلریت‌تید می‌تواند این مسئله را تأیید کند. استروتید نیز همانند کلریت‌تید در سنگ‌هایی تشکیل می‌شود که نسبت آهن به منیزیم در آن‌ها بالا باشد. ظهرور استروتید در متابیلت‌ها در ترکیبات غنی از آهن از دمای حدود ۵۰۰ درجه آغاز می‌گردد و نشانه شروع رخساره آمفیبولیت است [۱۲]. عدم وجود زوینیگ در استروتید موجود در این شیست‌ها، نشانه رشد و تشکیل این کانی در چرخه دگرگونی پیش‌رونده است [۱۵]. وجود پاراژنر $Grt+St+Chl+Bt$ حکایت از انجام واکنش (۴) [۱۳] است و تقریباً تمامی بیوتیت موجود در این سنگ‌ها طی این واکنش تشکیل شده‌اند.

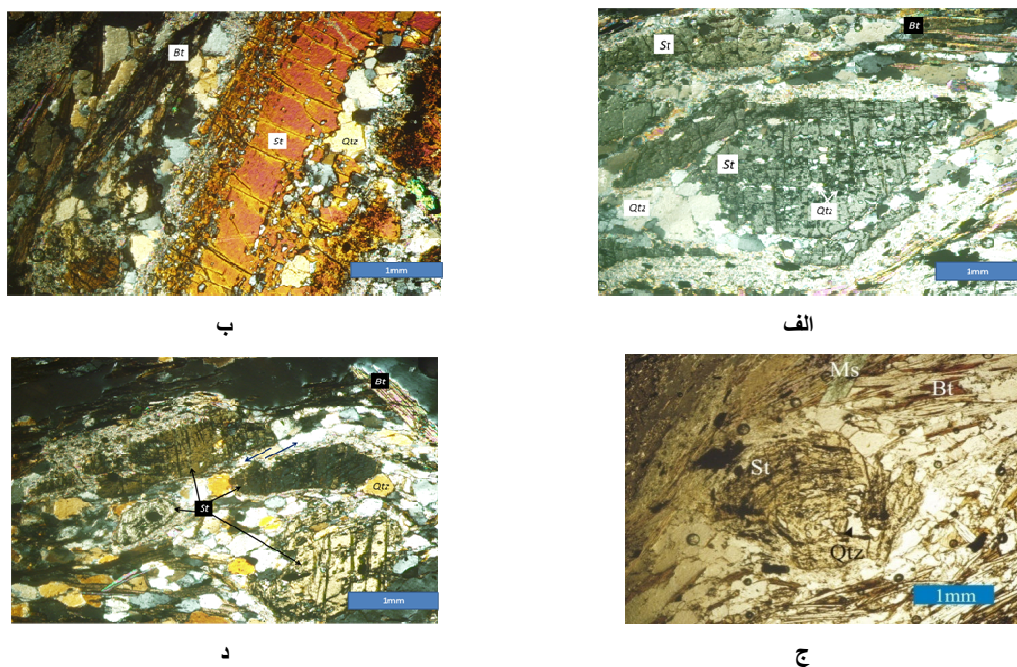


شکل ۶. گارنت استروتید شیست (نمونه G9). (الف) گارنت خرد شده که در شکستگی‌های آن بیوتیت تشکیل شده است، (ب) تشکیل استروتید در سنگ

استروتید کیانیت شیست: این سنگ‌ها (از جمله نمونه GoI-St) (پیوست ۱) دارای بافت پورفیروپیدوپلاستیک با حدود ۳۵-۴۰ درصد استروتید، ۲۰ درصد بیوتیت، ۲۰ درصد کوارتز، ۱۰ درصد موسکویت، ۵-۷ درصد کانی اپاک و کمتر از ۵ درصد کیانیت هستند (شکل ۷). پورفیروپلاست‌های بزرگ و طلایی رنگ استروتید با ابعاد ۳ تا ۵ میلی‌متر دارای ادخالات کوارتز، اپاک و بیوتیت هستند. این پورفیروپلاست‌ها تحت تأثیر واکنش‌های برگشتی از اطراف سریسیتی شده‌اند. از آنجا که استروتید یک کانی آهن‌دار است و منیزیم زیادی ندارد، کلریت ثانویه در آن کمتر تشکیل می‌گردد. در این سنگ‌ها گارنت بسیار کمیاب است و استروتید به خرج گارنت تشکیل شده است واکنش (۴). برخی استروتید‌ها دارای ادخال در حاشیه (شکل ۷ ب) و برخی دارای ادخال در مرکز هستند (شکل ۷ الف) که ۲ مرحله رشد را در استروتید نشان می‌دهند. در برخی قسمت‌ها بلورهای استروتید

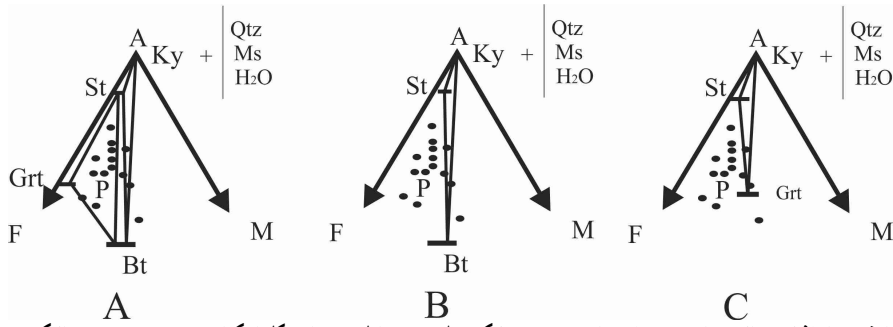
بریده شده‌اند و در یک امتداد مشخص از یکدیگر دور شده‌اند، این مسئله به‌ موضوع در این سنگ‌ها (شکل ۷ د) مشاهده می‌گردد و بیان‌گر وقوع پدیده شیرینگ است. برخی از استروتیدها و ادخالات آن‌ها چرخش S شکل نشان می‌دهند (شکل ۷ ج). وجود شیرینگ و چرخش S- شکل در استروتیدها بیان‌گر (Syn-tectonic) بودن آن‌هاست. X_{Mg} در استروتیدها از $0/16$ تا $0/3$ متغیر است و از مرکز به حاشیه کاهش می‌یابد. در بیوتیت همزیست با استروتید X_{Mg} از $0/51$ تا $0/54$ در تغییر است و از مرکز به حاشیه افزایش می‌یابد. با افزایش درجه دگرگونی میزان منزیم در بیوتیت که یک کانی Mg دوست است افزایش می‌یابد و در استروتید که یک کانی Fe دوست است کاهش می‌یابد [۱۶].

یکی دیگر از کانی‌های موجود در این سنگ‌ها کیانیت است. این کانی صرفاً از دگرگونی سنگ‌های پلیتی تحت فشارهای متوسط تا بالا نشکیل می‌شود. کیانیت با واکنش‌های (۵) $St+Chl=Bt+Ky$ و (۶) $St+Qtz=Grt+Ky+H_2O$ [۱۱] ، [۱۴] جایگزین کانی‌های درجه پایین‌تر از خود می‌گردد. این واکنش‌ها صرفاً در پلیت‌هایی روی می‌دهد که کانی‌های نسبتاً غنی از Mg داشته باشند. کانی‌های بیوتیت و مسکویت شیستوزیته زمینه سنگ را می‌سازند که به خوبی در اطراف پورفیروبلاست‌های استروتید دیده می‌شود (شکل ۷ ج).



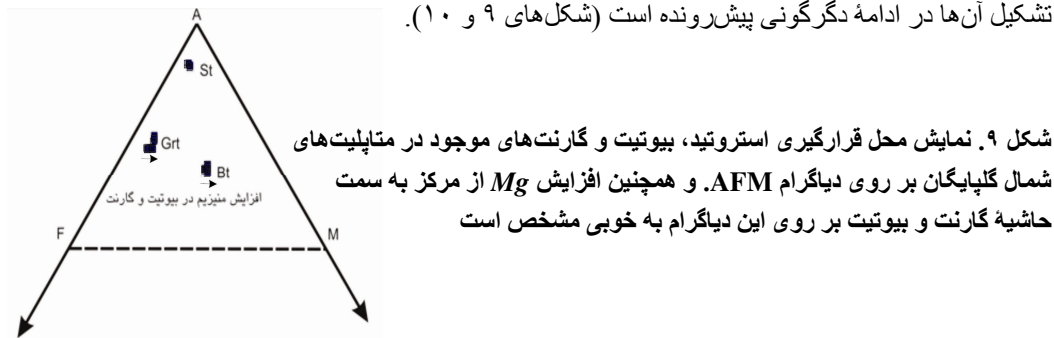
شکل ۷. استروتید کیانیت شیست (نمونه ST-Gol). الف) پورفیروبلاست استروتید با ادخال در مرکز، ب) پورفیروبلاست استروتید با ادخال در حاشیه، ج) چرخش بلور استروتید و ادخال‌های S مانند آن، د) شیرینگ در استروتید ترکیب سنگ کل در سنگ‌های متابیتی گلپایگان بر روی دیاگرام AFM در محدوده شیل‌های پلازیک قرار می‌گیرد که به‌طور نسبی از Al نسبت به شیل‌های پلاتفرمی غنی بوده و از Ca تهی است (شکل ۸). در این

شكل پاراژنر کانی‌ها نیز ترسیم شده است، لیکن به دلیل عدم دسترسی به داده‌های آنالیز نقطه‌ای کانی‌های کلریت و کلریتوئید، پاراژنر‌های مربوط به کانی‌های مذکور (واکنش‌های ۱ تا ۳) ترسیم نشده است. پاراژنر‌های مشخص شده در شکل‌های A، B و C به ترتیب مربوط به واکنش‌های ۴، ۵ و ۶ هستند. موقعیت مشابه نمونه‌ها در شکل ۸ بیان‌گر آن است که عامل اصلی ظهر مجموعه‌های کانی‌ای تغییرات دما و فشار است.



شکل ۸. نمایش پاراژنر کانی‌های همراه با ترکیب سنگ کل در متابلیت‌های گلپایگان (P: ترکیب میانگین رس‌های پلاریزک) [۱۲]. (A) پاراژنر‌های گارنت-بیوتیت-استروتید-بیوتیت-استروتید-کیانیت، (B) پاراژنر بیوتیت-استروتید-کیانیت، (C) پاراژنر گارنت-استروتید-کیانیت

در شکل ۹ محل قرارگیری ترکیب کانی‌های Bt، St و Grt در دیاگرام پاراژنری AFM نشان داده شده است (نمونه‌های ۷-SF و ۸-Gol). تغییرات Mg در کانی‌های مذکور ناجیز است و افزایش خفیف آن نشان‌دهنده تشکیل آن‌ها در ادامه دگرگونی پیش‌رونده است (شکل‌های ۹ و ۱۰).



شکل ۹. نمایش محل قرارگیری استروتید، بیوتیت و گارنت‌های موجود در متابلیت‌های شمال گلپایگان بر روی دیاگرام AFM. و همچنین افزایش Mg از مرکز به سمت حاشیه گارنت و بیوتیت بر روی این دیاگرام به خوبی مشخص است

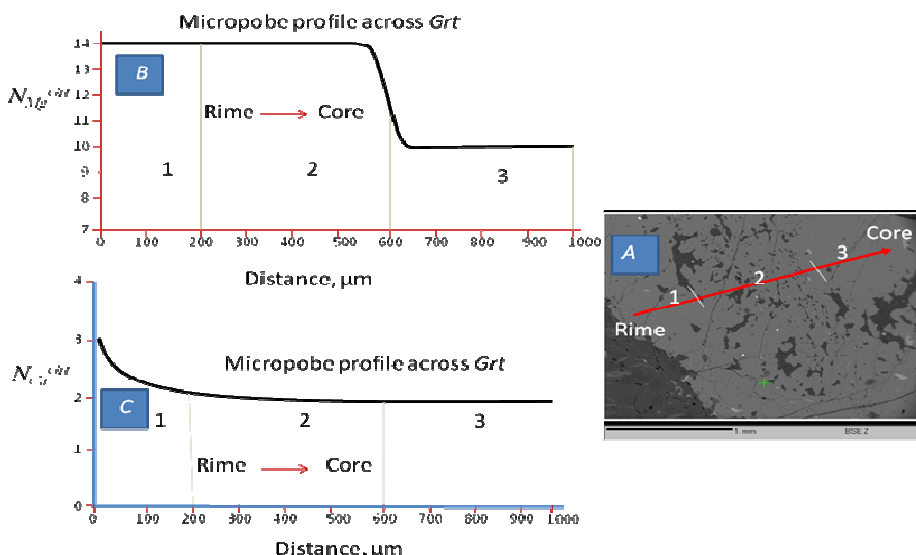
گارنت‌ها گروه مهمی از کانی‌های ارتوسیلیکاته‌اند که در محیط‌های مختلف زمین‌شناسی یافت می‌شوند [۱۷]. با توجه به نوع سنگ در برگیرنده، ترکیب زمینه، کانی‌های پیرامون و شرایط دما و فشار، عناصر مختلفی در ترکیب این کانی شرکت می‌کنند و در نتیجه انواع مختلفی از گارنت ایجاد می‌شود. فرمول عمومی گارنت‌های بی‌آب^۱، $\{X_3\}[Y_2](Z_3)\emptyset_{12}$ است که X، Y، Z کاتیون‌های با عدد کوئردیناسیون هشت، Y جایگاه کاتیون‌های با کوئردیناسیون اکتاکریال، Z معرف جایگاه کاتیون‌های با کوئردیناسیون تترادرالی و \emptyset مطابق با جایگاه آنیون‌ها است [۱۸]. برای پی بردن به نوع گارنت‌ها اقدام به محاسبه فرمول ساختاری آن‌ها به روش ۲۴ اکسیژن و اعضای پایانی با استفاده از نرم‌افزار مینرال اسپریدشیت^۲ ارائه شد [۱۹].

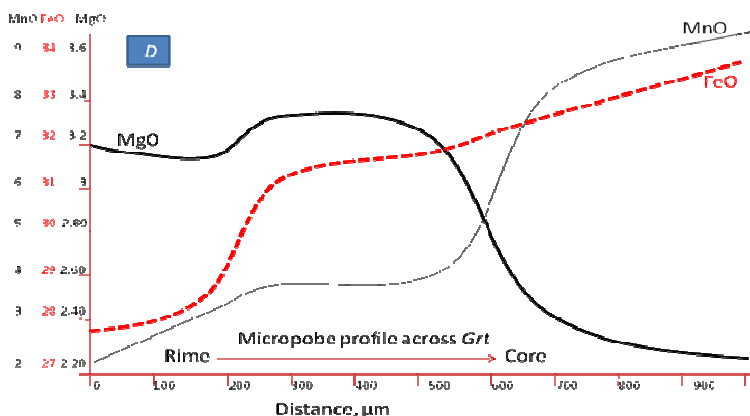
¹. anhydrous

². Minerals Spreadsheet

گارنت شاخص پتروژنیک مفیدی است، البته نه برای این‌که در محدوده وسیعی از دما پایدار است بلکه توزیع آهسته کاتیونی در گارنت موجب می‌شود که بتوان آن را در بسیاری از ژئوترمومترها بهکار برد. بنابراین گارنت‌های دارای منطقه‌بندی می‌توانند بخش مهمی از مسیر زمان-دما- فشار سنگ‌ها را ثبت کنند [۲۰]. گارنت‌های ماقمایی یا فاقد منطقه‌بندی هستند، یا منطقه‌بندی معکوس نشان می‌دهند (مرکز فقیر و حاشیه غنی از Mn) که با شرایط کاهش دما مطابقت می‌کند [۲۱]. در مقابل گارنت‌های دگرگونی دارای منطقه‌بندی عادی هستند و در مرکز از Mn غنی شده‌اند.

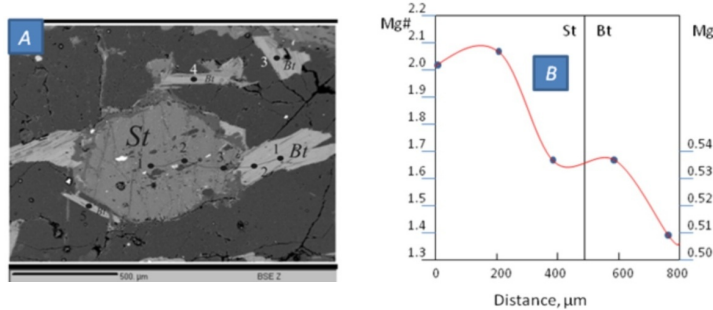
برش‌های بلور‌های منطقه‌ای از گارنت موجود در گارنت شیست‌ها (نمونه ۷-SF) نشان‌گر افزایش میزان منیزیم این کانی در مراحل بعدی است (شکل ۱۰). میزان X_{Mg} موجود در پورفیروبلاست‌های کوچکتر گارنت شبیه به میزان X_{Mg} در مرحله‌های دوم و سوم پورفیروبلاست‌های زونه گارنت است. این مسئله بیان‌گر همزمانی تبلور پورفیروبلاست‌های کوچک گارنت با مرحله‌های دوم و سوم پورفیروبلاست‌های زونه است. منگنز موجود در گارنت در دگرگونی‌های درجه پایین وجود دارد و با پیشرفت دگرگونی کاهش می‌یابد. بنابراین در منیزیم در گارنت روندی بر عکس منگنز دارد و میزان منیزیم با پیشرفت دگرگونی افزایش می‌یابد. بنابراین در گارنت‌های چند مرحله‌ای بررسی شده، بخش هسته‌ای که در درجه‌های پایین‌تر دگرگونی تشکیل شده است، غنی از منگنز؛ و حاشیه این پورفیروبلاست‌ها (مرحله سوم) که در درجه‌های بالاتر دگرگونی تشکیل شده است، غنی از منیزیم است. مرکز Mn در هسته گارنت‌ها، بدین صورت تعبیر می‌شود که Mn در ساختمان گارنت عنصر بسیار سازگاری است، چنان‌که در اولین مراحل تبلور گارنت، تمامی Mn در ساختمان آن مرکز می‌شود و محیط از Mn تهی می‌گردد. بنابراین مرکز گارنت نسبت به حاشیه آن از Mn غنی‌تر است [۲۲]. لازم به ذکر است که منطقه‌بندی معکوس در گارنت نشانه بالاً‌آمدگی سنگ‌ها طی دگرگونی پس‌روندۀ در محیطی است که به آرامی تکتونیک عمل کرده و سنگ‌ها سریع بالا نیامده‌اند (low rate exhumation).





شکل ۱۰. الف) BSI (Backscattered Image) از گارنت در یک نمونه از متایلیت های شمال گلپایگان (نمونه ۷-SF).
ب- د) پروفیل تغییرات X_{Mg} , X_{Ca} , MgO , FeO , MnO از حاشیه به مرکز در ۳ مرحله از رشد گارنت که بیان گر کاهش منگنز و آهن و افزایش منیزیم از مرکز به حاشیه گارنت است. تغییرات MnO و MgO در پروفیل مورد نظر به خوبی وجود سه مرحله از رشد گارنت را نشان می دهد

چنان که در شکل ۱۱ ملاحظه می گردد، X_{Mg} به دلیل تبدلات کاتیونی در حاشیه استروتید کاهش می یابد و در حاشیه بیوتیت هم زیست افزایش می یابد.



شکل ۱۱. الف) BSI (Backscattered Image) از استروتید و بیوتیت مجاور آن در نمونه ای از متایلیت های شمال گلپایگان (نمونه ۸-Gol). ب) پروفیل تغییرات X_{Mg} (St- Gol) از حاشیه به مرکز در استروتید و بیوتیت هم زیست، که بیان گر کاهش X_{Mg} در حاشیه استروتید و افزایش آن در حاشیه بیوتیت هم زیست است

شرایط ترمودینامیکی واکنش های دگرگونی

واکنش های دگرگونی اعم از انتقالی یا تبادلی می توانند به خوبی بیان گر شرایط فشارشی و حرارتی تشکیل سنگ های دگرگونی باشند. لازمه کسب این اطلاعات، انجام آنالیز های نقطه ای بر روی کانی هایی است که در این واکنش ها شرکت کرده اند. برای محاسبه پارامتر های ترمودینامیکی در تعادلات کانی ها از بانک داده های *Geo-Path* استفاده شد [۲۳]. پایداری منطقه بندی رشدی در گارنت های موجود در سنگ های بررسی شده که نمود آن به صورت افزایش منیزیم از مرکز به سمت حاشیه و کاهش میزان منگنز در همین مسیر است، حاکی از دگرگونی پیش رونده متایلیت های بررسی شده است. البته توزیع هموژن این عناصر و از حالت منطقه ای خارج شدن آن ها در کانی های فرومینیزین مثل گارنت می تواند نشانه درجه های بالای دگرگونی باشد [۲۴]. با توجه به

همزیستی گارنت و استروتید و همچنین همزیستی گارنت و بیوتیت برای محاسبه دما از واکنش‌های تبادلی^(۷) $Grt_{Mg} + St_{Fe} = St_{Mg} + Grt_{Fe}$ ^(۸) [۲۵] و $Grt_{Mg} + Bt_{Fe} = Bt_{Mg} + Grt_{Fe}$ که می‌توانند ترمومترهای مناسبی باشند استفاده شد. آنالیز نقطه‌ای بر روی کانی‌های Grt و Bt از مجموعه پاراژنزی $Ms + Bt + Qtz = Grt + Kfs + H_2O$ که بر اساس واکنش $Qtz + Grt + Qtz + Ms + Kfs + Bt$ به عنوان بارومتری مناسب برای محاسبه فشار استفاده شد [۲۵].

نتایج حاصل از ژئوتربومبارومتری این سنگ‌ها که با استفاده از بانک داده‌های *Geo-Path* محاسبه شده است، در جدول‌های ۱ و ۲ ارائه شده است.

جدول ۱. نتایج محاسبه دما برای مجموعه‌های $Grt + Bt$ در متابیت‌های شمال گلپایگان بر اساس واکنش^(۶)

| Bt | Grt | X_{Mg}^{Grt} | X_{Mg}^{Bt} | K_D | P, bar | T °K | T °C |
|----|-----|----------------|---------------|----------|--------|------|------|
| 1 | 7 | 0.10 | 0.51 | 2.23723 | 5000 | 771 | 498 |
| 2 | 2 | 0.14 | 0.54 | 1.975633 | 5000 | 812 | 539 |
| 3 | 1 | 0.11 | 0.52 | 2.170784 | 5000 | 781 | 508 |
| 3 | 3 | 0.14 | 0.52 | 1.895333 | 5000 | 826 | 553 |
| 3 | 6 | 0.10 | 0.52 | 2.277267 | 5000 | 765 | 492 |
| 4 | 1 | 0.11 | 0.53 | 2.210885 | 5000 | 775 | 502 |
| 4 | 4 | 0.14 | 0.53 | 1.935434 | 5000 | 819 | 546 |
| 4 | 7 | 0.10 | 0.53 | 2.317369 | 5000 | 759 | 486 |
| 5 | 5 | 0.14 | 0.53 | 1.935434 | 5000 | 819 | 546 |

جدول ۲. نتایج محاسبه پارامترهای فشار- دما برای مجموعه‌های $Grt + Bt + Ms + Qtz$ در متابیت‌های شمال گلپایگان

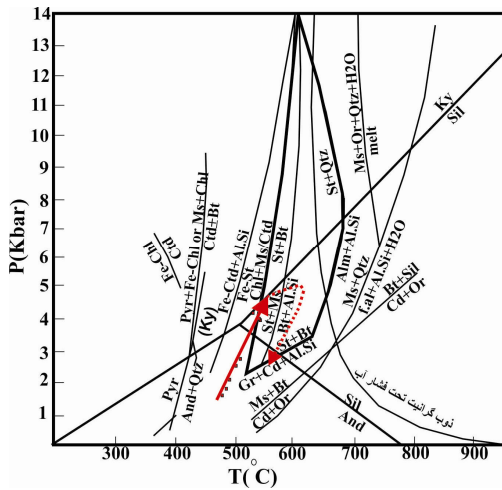
| Bt | Grt | Ge(Prp) | Xca | XFe | X_{Mg}^{Grt} | X_{Mg}^{Bt} | X_{Prp} | T °K | T °C | P (kbar) |
|----|-----|-----------|------|--------|----------------|---------------|-----------|------|------|-------------|
| 1 | 7 | 83.868136 | 0.02 | 0.8744 | 0.1 | 0.51 | 0.1 | 771 | 498 | 1.9 |
| 2 | 2 | 122.59969 | 0.03 | 0.8571 | 0.14 | 0.54 | 0.13 | 812 | 539 | 4.0 |
| 3 | 1 | 137.55445 | 0.03 | 0.9551 | 0.11 | 0.52 | 0.11 | 781 | 508 | 2.6 |
| 3 | 3 | 80.553742 | 0.02 | 0.8521 | 0.14 | 0.52 | 0.13 | 826 | 553 | 4.1 |
| 3 | 6 | 83.022403 | 0.02 | 0.8641 | 0.1 | 0.52 | 0.1 | 765 | 492 | 1.8 |
| 4 | 1 | 137.7761 | 0.03 | 0.9551 | 0.11 | 0.53 | 0.11 | 775 | 502 | 2.5 |
| 4 | 4 | 79.862143 | 0.02 | 0.8431 | 0.14 | 0.53 | 0.14 | 819 | 546 | 3.9 |
| 4 | 7 | 84.135894 | 0.02 | 0.8744 | 0.1 | 0.53 | 0.1 | 759 | 486 | 1.6 |
| 5 | 5 | 79.946535 | 0.02 | 0.844 | 0.14 | 0.53 | 0.14 | 819 | 546 | 3.9 |

*دما براساس واکنش^(۷) و **فشار بر اساس واکنش^(۲) محاسبه شد

بررسی ترموبارومتری متابیت‌های شمال گلپایگان، محدوده دمایی ۴۸۰ تا ۵۶۰ درجه سانتی‌گراد و محدوده فشاری ۱/۱ تا ۴/۱ کیلوبار را نشان می‌دهد که روند و مسیر دگرگونی نیز در شکل ۱۲ رسم شده است. این شرایط می‌توانند نشانه دگرگونی پیشرونده متابیت‌های بررسی شده تا رخساره آمفیبولیت پایینی و سپس عملکرد فرسایش و ثبت آثار دگرگونی پسروندی بر روی این سنگ‌ها باشد.

نتیجه‌گیری

بررسی‌های پتروگرافی و مطالعه پاراژنزهای مجموعه دگرگونی شمال گلپایگان حکایت از دگرگونی پیشرونده پلیت‌های ژوراسیک تا حد رخساره آمفیبولیت پایینی دارد. در این سنگ‌ها واکنش‌های زیر دیده



شکل ۱۲. مسیر دگرگون شدن سنگ‌های متاپلیتی شمال گلپایگان بر روی دیگرام فشار-حرارت [۲۶]
خط چین: مسیر احتمالی دگرگونی پیش‌رونده و برگشتی سنگ‌های بررسی شده

می‌شود: ۱. ناپایداری کلریت در مقابل فلدسپار پتاسیم و تشکیل میکا، ۲. ناپایداری کلریت و مسکویت و تشکیل گارنت و بیوتیت، ۳. ناپایداری کلریتوئید و تشکیل استروتید و گارنت، ۴. ناپایداری کلریت در حضور گارنت و تشکیل استروتید و بیوتیت، ۵. ناپایداری کلریت در حضور استروتید و تشکیل بیوتیت و کیانیت، ۶. ناپایداری استروتید و بیوتیت را نشان می‌دهند.

متاپلیت‌های گلپایگان در محدوده دمایی $560 - 480$ درجه سانتی‌گراد و فشار $4/1 - 1/6$ کیلوبار شکل گرفته‌اند. بر اساس منحنی $t-P$ بالآمدگی موجب ثبت آثار دگرگونی پسروندۀ بر روی این سنگ‌ها شده است. پرتوولیت این سنگ‌ها دارای سن تریاس-ژوراسیک بوده و در ژوراسیک پایانی، در طی فاز کیمرین پسین، متholm دگرگونی دیناموتر مال تا حد رخساره آمفیبولیت یابینی شده‌اند.

پروفیل‌های ترسیمی میکروزوندی و همچنین آرایش ادخال‌های موجود در گارنت‌های بررسی شده به وضوح مرحله رشد را در طی دگرگونی بیش‌رونده نشان می‌دهند.

هسته گرد شده و فاقد ادخال گارنت در مرحله اول و طی دگر شکلی D1 در زمان ژوراسیک پایانی- کرتاسه آغازین با فاز که مازه، کیمرین سین، تشکیل شده است

مرحله دوم رشد گارنت که دارای ادخال فراوان است، طی دگرشكلي D2 ايجاد شده است. اين دگرشكلي با فاز که هم اس، لا، اميد در، کر تاسه بيانات، بيد آمده است

مرحله سوم، شدگاری نت ط بگشکل D3 را کتابخانه - بالوئین بو ده است

پیوست ۱. مشخصات نمونه‌هایی که نام آن‌ها در متن ذکر شده است

| شماره نمونه | مشخصات جغرافیایی محل برداشت | نام سنگ |
|-------------|-----------------------------|----------------------|
| Chl | N 33° 36' E 50° 17' | گارنت کلریتوئید شیست |
| SF-7 | N 33° 35' E 50° 22' | گارنت شیست |
| G9 | N 33° 36' E 50° 23' | گارنت استروتید شیست |
| St-Gol | N 33° 36' E 50° 23' | استروتید کیانیت شیست |

پیوست ۲. آنالیز سنگ کل متابیت‌های شمال گلپایگان

| Sample | SiO ₂ | TiO ₂ | Al ₂ O ₃ | Cr ₂ O ₃ | Fe ₂ O ₃ | FeO | MnO | MgO | CaO | Na ₂ O | K ₂ O | P ₂ O ₅ | LOI | Total |
|----------|------------------|------------------|--------------------------------|--------------------------------|--------------------------------|------|------|-------|------|-------------------|------------------|-------------------------------|------|--------|
| Ho-1-5-3 | 64.2 | 0.761 | 20.57 | 0.018 | 5.79 | 0 | 0.14 | 1.951 | 0.56 | 0.262 | 4.6 | 0.111 | * | * |
| Sh-13S1 | 69.82 | 0.48 | 12.94 | * | 1.85 | 2.49 | 0.06 | 1.57 | 2.76 | 2.01 | 1.05 | 0.12 | 4.2 | 99.35 |
| Sh-16S1 | 70.56 | 0.55 | 14.69 | * | 2.28 | 1.44 | 0.04 | 0.6 | 1.37 | 3.98 | 0.21 | 0.09 | 4.2 | 99.98 |
| Sh-17S2 | 64.87 | 0.39 | 10.56 | * | 6.17 | 4.12 | 0.08 | 1.09 | 2.09 | 3.48 | 0.19 | 0.09 | 5.59 | 99.06 |
| Sh-18S2 | 60.48 | 0.37 | 9.38 | * | 6.76 | 2.14 | 0.03 | 1.5 | 2.98 | 4 | 0.19 | 0.08 | 11.3 | 99.22 |
| Sh-21S1 | 60.69 | 0.5 | 11.14 | * | 2.65 | 3.8 | 0.07 | 2.43 | 5.05 | 4.29 | 0.52 | 0.07 | 7.76 | 98.99 |
| Sh-2S1 | 69.23 | 0.77 | 15.06 | * | 3.41 | 1.37 | 0.02 | 0.78 | 1.7 | 3.72 | 0.93 | 0.12 | 2.93 | 100.04 |
| Sh-3T | 63.62 | 0.58 | 10.02 | * | 9.9 | 0.94 | 0.03 | 0.93 | 2.32 | 2.66 | 0.33 | 0.16 | 7.48 | 98.93 |
| Sh-4T | 68.31 | 0.72 | 14.61 | * | 2.08 | 1.8 | 0.09 | 2.04 | 1.93 | 4.03 | 1.72 | 0.16 | 2.53 | 100.02 |
| Sh-6S3 | 74.02 | 0.22 | 9.99 | * | 3.06 | 3.06 | 0.01 | 0.18 | 0.65 | 2.51 | 0.18 | 0.12 | 8.12 | 99.84 |
| Sh-9S3 | 63.75 | 0.4 | 11.75 | * | 5.12 | 3.03 | 0.08 | 1.57 | 3.15 | 2.38 | 1.29 | 0.12 | 7.03 | 99.67 |
| Sh-g2 | 58.39 | 3.588 | 17.86 | 0.046 | 11.36 | 0 | 0.09 | 2.044 | 0.84 | 0.024 | 1.8 | 0.231 | * | * |
| Sh-JO-1 | 54.84 | 0.896 | 21.6 | 0.034 | 7.85 | 0 | 0.05 | 5.928 | 1.32 | 1.413 | 3.5 | 0.154 | * | 97.59 |
| Sh-S9 | 58.39 | 0.796 | 22.35 | 0.026 | 5.99 | 0 | 0.09 | 3.173 | 0.6 | 0.323 | 4 | 0.164 | * | * |
| Sh-SF-2 | 65.46 | 0.326 | 19.29 | 0.014 | 3.73 | 0 | 0.11 | 0.339 | 1.58 | 3.104 | 2.09 | 0.08 | * | * |
| Sh-SS-12 | 61.3 | 0.928 | 18.43 | 0.036 | 6.44 | 0 | 0.1 | 3.995 | 1.54 | 1.953 | 2.33 | 0.106 | * | * |

پیوست ۳. آنالیز نقطه‌ای تعدادی از کانی‌های موجود در متابیت‌ها

| Sample - St- Gol | | | | | |
|--------------------------------|--------|--------|--------|--------|--------|
| Mineral | Bt | Bt | Bt | Bt | Bt |
| Spot | 1 | 2 | 3 | 4 | 5 |
| SiO ₂ | 34.757 | 34.662 | 35.994 | 35.778 | 36.291 |
| TiO ₂ | 1.626 | 1.589 | 1.794 | 1.885 | 1.609 |
| Al ₂ O ₃ | 18.976 | 18.634 | 18.660 | 18.831 | 18.829 |
| FeO | 18.659 | 18.984 | 17.510 | 16.881 | 16.884 |
| MnO | 0.042 | 0.174 | 0.069 | 0.049 | 0.220 |
| MgO | 10.864 | 12.357 | 10.656 | 10.892 | 10.733 |
| CaO | 0.143 | 0.036 | 0.007 | 0.020 | 0.058 |
| Na ₂ O | 0.252 | 0.036 | 0.190 | 0.095 | 0.201 |
| K ₂ O | 9.628 | 9.701 | 9.842 | 9.627 | 9.759 |
| Si | 5.314 | 5.245 | 5.471 | 5.453 | 5.503 |
| Al | 3.419 | 3.324 | 3.343 | 3.383 | 3.365 |
| Ti | 0.187 | 0.181 | 0.205 | 0.216 | 0.183 |
| Fe ²⁺ | 2.386 | 2.403 | 2.226 | 2.152 | 2.141 |
| Mn | 0.005 | 0.022 | 0.009 | 0.006 | 0.028 |
| Mg | 2.476 | 2.788 | 2.415 | 2.475 | 2.426 |
| Ca | 0.023 | 0.006 | 0.001 | 0.003 | 0.000 |
| Na | 0.074 | 0.010 | 0.056 | 0.028 | 0.059 |
| K | 1.878 | 1.873 | 1.908 | 1.872 | 1.887 |
| X _{Mg} | 0.509 | 0.537 | 0.520 | 0.535 | 0.531 |
| Mineral | St | St | St | St | St |
| Spot | 1 | 2 | 3 | 4 | 5 |
| SiO ₂ | 28.339 | 29.284 | 28.818 | 28.844 | 27.582 |
| TiO ₂ | 0.478 | 0.579 | 0.617 | 0.584 | 0.603 |
| Al ₂ O ₃ | 51.612 | 51.887 | 52.750 | 53.582 | 53.502 |
| FeO | 13.527 | 13.355 | 13.098 | 12.559 | 12.066 |
| MnO | 0.310 | 0.369 | 0.266 | 0.287 | 0.302 |
| MgO | 1.923 | 1.950 | 1.473 | 1.527 | 2.792 |
| ZnO | 0.153 | 0.044 | 0.153 | 0.092 | 0.031 |
| Si | 7.987 | 8.135 | 8.019 | 7.974 | 7.680 |
| Al | 17.145 | 16.988 | 17.300 | 17.459 | 17.559 |
| Ti | 0.101 | 0.121 | 0.129 | 0.121 | 0.126 |
| Fe ²⁺ | 3.188 | 3.102 | 3.048 | 2.903 | 2.809 |
| Mn | 0.074 | 0.087 | 0.063 | 0.067 | 0.071 |

| Mg | 0.808 | 0.807 | 0.611 | 0.629 | 1.158 |
|--------------------------------|-------|-------|-------|-------|-------|
| Zn | 0.032 | 0.009 | 0.031 | 0.019 | 0.006 |
| X _{Mg} | 0.202 | 0.206 | 0.167 | 0.178 | 0.292 |
| Sample - SF- 7 | | | | | |
| Mineral | Grt | Grt | Grt | Grt | Grt |
| Spot | 1 | 2 | 3 | 4 | 5 |
| SiO ₂ | 37.57 | 37.96 | 38.36 | 37.98 | 37.93 |
| TiO ₂ | 0.03 | 0.03 | 0.00 | 0.02 | 0.08 |
| Al ₂ O ₃ | 21.09 | 20.95 | 20.92 | 21.15 | 21.11 |
| Cr ₂ O ₃ | 0.00 | 0.00 | 0.00 | 0.04 | 0.00 |
| FeO | 34.45 | 33.85 | 32.57 | 31.96 | 31.19 |
| MnO | 2.21 | 2.11 | 3.32 | 3.77 | 4.32 |
| MgO | 2.61 | 3.19 | 3.18 | 3.34 | 3.22 |
| CaO | 0.84 | 0.95 | 0.63 | 0.62 | 0.79 |
| Sum | 98.80 | 99.03 | 98.97 | 98.87 | 98.65 |
| Si | 3.05 | 3.06 | 3.09 | 3.06 | 3.06 |
| Al | 2.02 | 1.99 | 1.98 | 2.01 | 2.01 |
| Fe ²⁺ | 2.34 | 2.28 | 2.19 | 2.15 | 2.11 |
| Mn | 0.15 | 0.14 | 0.23 | 0.26 | 0.30 |
| Mg | 0.32 | 0.38 | 0.38 | 0.40 | 0.39 |
| Ca | 0.07 | 0.08 | 0.05 | 0.05 | 0.07 |
| X _{Mg} | 0.11 | 0.14 | 0.14 | 0.14 | 0.14 |
| X _{Ca} | 0.03 | 0.03 | 0.02 | 0.02 | 0.02 |
| Alm | 0.81 | 0.79 | 0.77 | 0.75 | 0.74 |
| Sps | 0.05 | 0.05 | 0.08 | 0.09 | 0.10 |
| Prp | 0.11 | 0.13 | 0.13 | 0.14 | 0.14 |
| Grs | 0.03 | 0.03 | 0.02 | 0.02 | 0.02 |
| X _{fe} | 0.95 | 0.85 | 0.85 | 0.84 | 0.84 |
| | | | | | 0.86 |
| | | | | | 0.87 |

| Sample - SF- 7 | | | | | |
|--------------------------------|---------|--------|---------|--------|---------|
| Mineral | Bt | Bt | Bt | Bt | Bt |
| Spot | 1 | 2 | 3 | 4 | 5 |
| SiO ₂ | 35.793 | 36.031 | 38.735 | 35.844 | 36.342 |
| TiO ₂ | 1.609 | 1.416 | 2.005 | 1.636 | 1.463 |
| Al ₂ O ₃ | 19.129 | 18.815 | 19.067 | 19.033 | 18.797 |
| FeO | 21.082 | 19.671 | 19.205 | 19.515 | 20.250 |
| MnO | 0.033 | 0.031 | 0.059 | 0.046 | 0.063 |
| MgO | 9.991 | 9.951 | 7.991 | 9.751 | 9.893 |
| CaO | 0.164 | 0.293 | 0.216 | 0.232 | 0.319 |
| Na ₂ O | 0.182 | 0.217 | 0.534 | 0.27 | 0.182 |
| K ₂ O | 8.206 | 8.567 | 8.239 | 8.518 | 8.754 |
| F | 0.184 | 0.053 | 0.294 | 0.000 | 0.254 |
| Total | 100.811 | 99.512 | 100.822 | 99.284 | 100.762 |
| Si | 5.395 | 5.476 | 5.750 | 5.452 | 5.478 |
| Ti | 0.182 | 0.162 | 0.224 | 0.187 | 0.166 |
| Al ^{VI} | 2.605 | 2.524 | 2.250 | 2.548 | 2.522 |
| Al ^{IV} | 0.793 | 0.846 | 1.084 | 0.864 | 0.817 |
| Fe(ii) | 2.657 | 2.500 | 2.384 | 2.482 | 2.552 |
| Mn | 0.004 | 0.004 | 0.007 | 0.006 | 0.008 |
| Mg | 2.245 | 2.255 | 1.768 | 2.211 | 2.223 |
| Ca | 0.026 | 0.048 | 0.034 | 0.038 | 0.052 |
| Na | 0.053 | 0.064 | 0.154 | 0.080 | 0.053 |
| K | 1.578 | 1.661 | 1.560 | 1.653 | 1.683 |
| F | 0.088 | 0.025 | 0.138 | 0.000 | 0.121 |
| X _{Mg} | 0.458 | 0.474 | 0.426 | 0.471 | 0.465 |
| X _{Fe} | 0.542 | 0.525 | 0.574 | 0.529 | 0.535 |
| Mg/Fe | 0.844 | 0.902 | 0.741 | 0.890 | 0.870 |

منابع

۱. ع. آفانباتی، زمین‌شناسی ایران، سازمان زمین‌شناسی و اکتشافات معدنی کشور، (۱۳۸۳) ۵۸۶ ص.
2. A. Ghasemi, C. J. Talbot, "A new tectonic scenario for the Sanandaj – Sirjan zone (Iran)", Journal of Asian Earth Sciences, 5 (2005) 1-11.
3. M. Mohajjal, C. L. Fergusson, "Dextral transpression in Late Cretaceous contatinetal collision, Sanandaj-Sirjan Zone", western Iran, Journal of Structural Geology, 22 (2000) 1125-1139.
4. M. Mohajjal, C. L. Fergusson, M. R. Sahadi, "Cretaceous - Tertiary contatinetal collision, Sanandaj- Sirjan Zone, western Iran", Journal of Asian Earth Sciences, 21 (2003) 397-412.
۵. م. شریفی، بررسی مagma تیسم آلکالن در شمال گلپایگان، پایان نامه دکتری رشته زمین‌شناسی گرایش پetroloژی دانشگاه اصفهان، (۱۳۸۶) ۱۶۰ ص.
۶. ق. احمدی دزکی، دگر شکلی‌های چند مرحله‌ای در منطقه شمال گلپایگان، پایان نامه کارشناسی ارشد، دانشگاه تربیت مدرس، (۱۳۷۸) ۱۲۳ ص.
۷. ع. صبا، تحلیل ساختاری توده‌های نفوذی همزمان با دگر شکلی در شمال ورزنه (شمال خاور گلپایگان)، پایان نامه کارشناسی ارشد، دانشگاه تربیت مدرس، (۱۳۷۸) ۱۰۱ ص.
8. N. Rachidnejad-Omran, M. H. Emami, M. Sabzehei, E. Rastad, H. Bellon, A. Piqué, "Lithostratigraphie et histoire paléozoïque à paléocène des complexes métamorphiques de la région de Muteh", zone de Sanandaj-Sirjan (Iran méridional), C. R. Geoscience, v. 334, (2002) 1185-1191.
9. R. Moritz, F. Ghazban, B. S. Singer, "Eocene gold ore formation at Muteh, Sanandaj-Sirjan tectonic zone, Western Iran", A result of late-stage extension and exhumation of metamorphic basement rocks within the Zagros Orogen, Economic Geology, v. 101, (2006) 1497-1524.
10. A. J. Barker, "Introduction to metamorphic textures and microstructures", Blackie, New York (1991) 162.
۱۱. ح. معین وزیری، پetroloژی سنگ‌های دگرگونی، دانشگاه تربیت معلم، (۱۳۷۷) ۳۳۶ ص.
12. K. Bucher, M. Frey, "Petrogenesis of metamorphic rocks, Berlin", and Heidelberg, New York: Springer-Verlag, 7th ed., (2002) 341.

13. S. M. Tabatabaei Manesh, M. Sharifi, A. Romanko, "P_T Conditions of the Jandaqh Metapelitic Schists, Northeastern Isfahan Province, Iran", Petrology, v. 18, no. 3 (2010) 308-317.
14. K. Bucher, M. Frey, "Petrogenesis of metamorphic rocks, Springer verlag" (1994)318.
15. F. B. Masoudi, B. Mehrabim, Sh. Mahmoudi, "Garnet (Almandine-Spessartine) Growth Zoning and Its Application to Constrain Metamorphic History in Dehsalm Complex", Iran. J. Sci. I.R. Iran, 17, No.3 (2006) 235-244.
16. B. W. D. Yardley, "An Introduction To MetamorphicPetrology", Longman Scientific & Technical, Singapore (1990).
17. W. A. Deer, R. A. Howie, J. Zussman, "Orthosilicates", seconded, Vol 1A, Rock- forming minerals, The Geological Society, London, UK (1997) 919.
18. A. Locock, "An Excel spreadsheet to recast analyses of garnet in to end-member components", and a synopsis of the crystal chemistry of natural silicate garnets, computers and geosciences, 34 (2008) 1769-1780.
19. J. Preston, J. Still, "Mineral chemistry Spreadsheet V 1.2", Electronic internet publication (2001), <http://www.Abdn.Ac.UK/geology/profiles/analysis/software/Garnet.xls>.
20. F. S. Spear, C. Kimball, "RECAMP-a Fortran IV program for estimating Fe³⁺ contents of amphiboles", Computer and Geosciences, 10 (1984) 317-325.
21. J. A. Dahlquist, C. Galindo, R. J. Pankhurst Rapela C. W, P. H. Alasino, J. Saavedra, C. M. Fanning, "Magmatic evolution of the Pen Rosado granite: Petrogenesis of garnet-bearing granitoids", Lithos, 95 (2007) 177–207.
22. D. Vance, T. Holland, "Adetailed isotopic and petrological study of a single garnet from the Gastts schist", Vermont. Cont. Min., Pet., 114 (1993) 101-118.
23. L. L. Perchuk, Yu. Yu. Podladchikov, A. N. Polaykov, "PT-paths and geodynamic modelling of some metamorphic processes", Journal of Metamorphic Geology, 10 (1992) 311-319.
24. L. L. Perchuk, D. D. van Reenen, C. A. Smit, D. A. Vankal, R. Boshoff, S. M. Varlamonov, S. M. Tabatabaeimanesh, "Isobaric heating recorded in polymetamorphic rocks from the Central Zone of the Limpopo High-Grade Terrain", South Africa, Lithos, 103 (2008) 70-105.

25. L. Ya. Aranovich, I. V. Lavrent'eva, N. A. Kosyakova, "Calibration of the biotite-garnet and biotite-orthopyroxene geothermometers corrected for the variable level in biotite", *Geochemistry International*, 25 (1988) 50-59.
26. F. S. Spear, J. T. Cheney, "A petrogenetic grid for pelites in the system $\text{SiO}_2\text{-Al}_2\text{O}_3\text{-FeO-MgO-K}_2\text{O-H}_2\text{O}$, Contributions to Mineralogy and Petrology", 101 (1989) 149-164.